



# 9. Határrétegek

Áramlástan előadást kiegészítő prezentáció

Dr. Suda Jenő Miklós, adjunktus

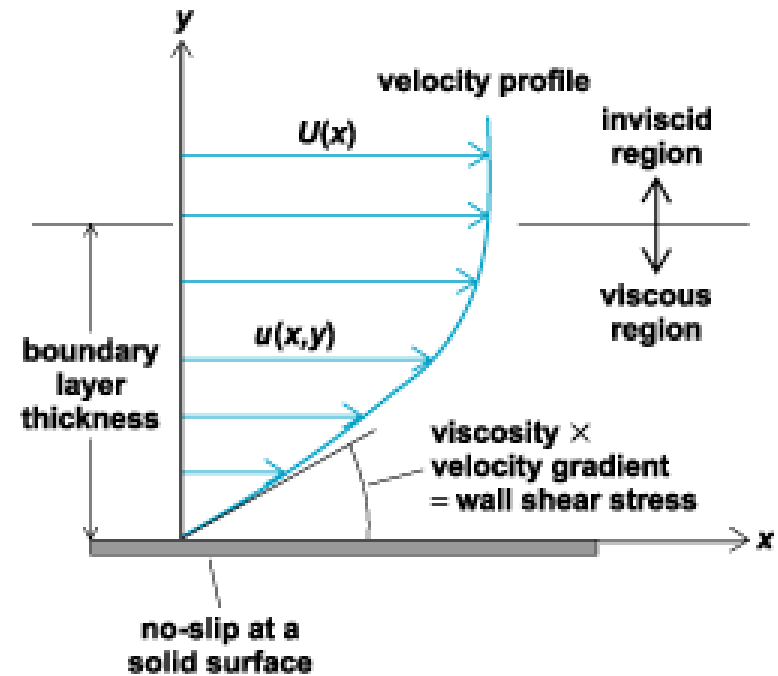
BME Áramlástan Tanszék

Felhasznált szakirodalom:

Dr. Lajos T.: Az áramlástan alapjai tankönyv

Dr. Balogh M.: Turbulencia modellezése előadásjegyzet

Dr. Suda J.M.: Járműáramlástan előadásjegyzet





## Határréteg-áramlás

A XX. század első éveiben Prandtl az áramlástan fejlődését alapvetően befolyásoló, alábbi megfontolást tette: ha egy szilárd test mellett közeg áramlik, a test falán a sebesség a tapadás törvénye értelmében zérus, és a sebesség a fal közelében lévő rétegben, a faltól távolodva rohamosan növekszik, míg e rétegen kívül a változás rohamossága sokkal kisebb. Az **M.9.1.1.** videó [1] glicerin áramlását mutatja egy csatornában. Jól látható a tapadás törvényének érvényesülése, és ebből következően a határréteg kialakulása. Ahol a sebesség rohamosan változik, ott a súrlódásnak nagy szerepe van, a szilárd testtől távolabb pedig a súrlódás elhanyagolható.

Tehát ha a súrlódás hatása szempontjából vizsgáljuk a teret, az két részre osztható (ld. **9.1. ábra**):

- egy fal melletti viszonylag vékony rétegre, az ún. **határrétegre**, ahol a sebesség a fal közvetlen közelében érvényes zérus értékről a faltól távolabb érvényes sebességre nő, és ahol a súrlódásnak döntő szerepe van,
- a faltól távolabbi áramlási térre, ahol a súrlódás hatása elhanyagolható (azaz jó közelítéssel érvényes az Euler- és a Bernoulli-egyenlet).





## Def.: határréteg

Áramlás irányban vastagodik

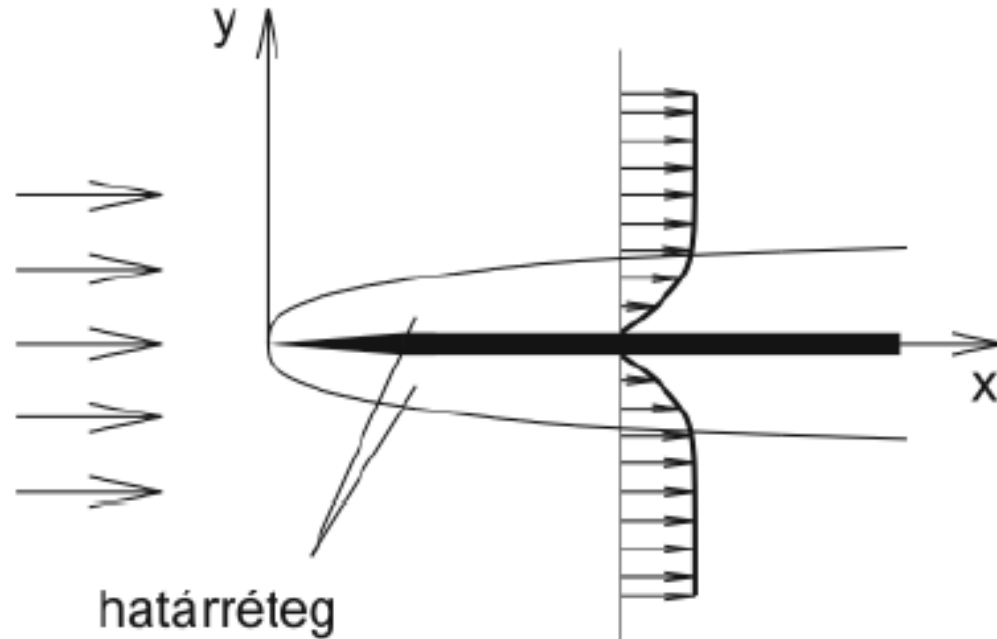
Kiszorít

Lassul

gradp ->

Nyomás növekedés

ellenében áramlik a közeg



9.1. ábra

Határréteg síklapon

$$Re_x = \frac{V x}{\nu}$$

sebességmegoszlás

**lamináris**

$$\frac{v_x}{V} \cong 1,5 \frac{y}{\delta} - 0,5 \left( \frac{y}{\delta} \right)^3,$$

**turbulens**

$$\frac{v_x}{V} = \left( \frac{y}{\delta} \right)^{\frac{1}{n}}$$



## Def.: határréteg

Entry #: V84181

### Spatially developing turbulent boundary layer on a flat plate

J.H. Lee, Y.S. Kwon, N. Hutchins and J.P. Monty

Department of Mechanical Engineering  
The University of Melbourne

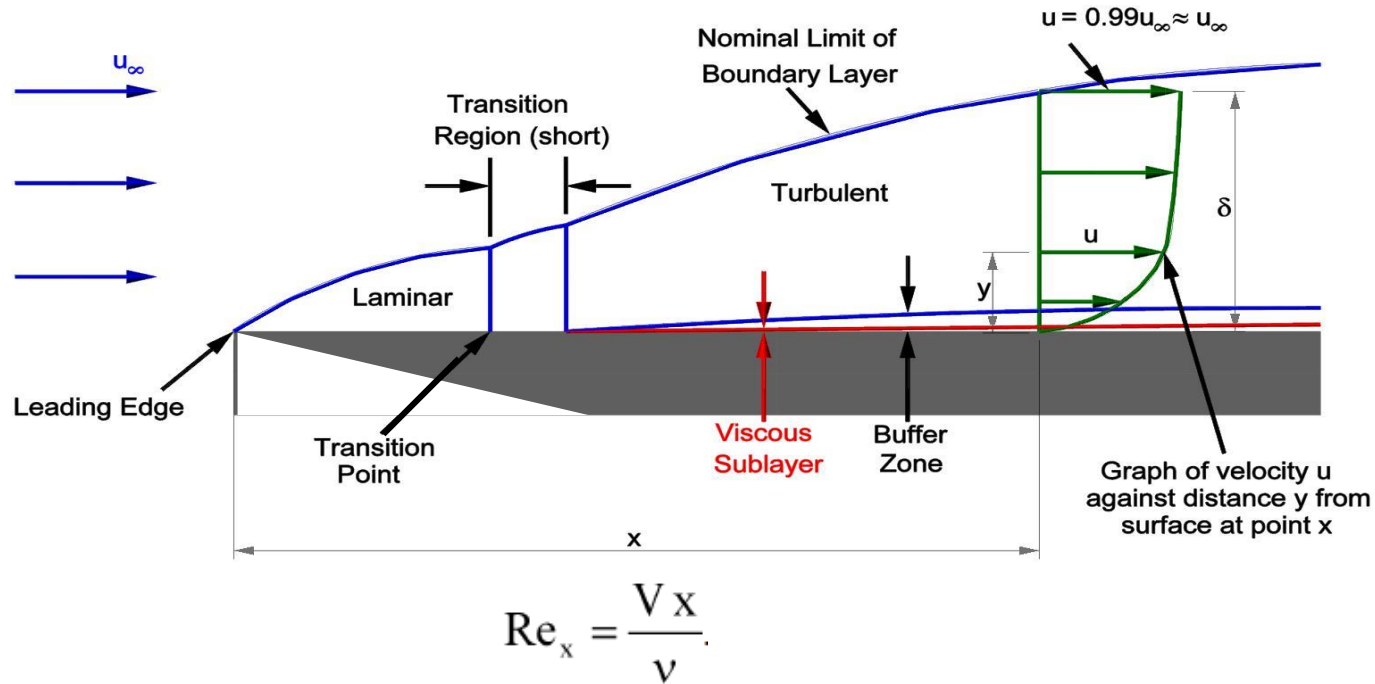


THE UNIVERSITY OF  
MELBOURNE





# Def.: határréteg (lamináris / turbulens)



**Fali (bőr-) súrlódási tényező ( $c_f'$ )**  
(skin friction coeff.)

**lamináris**

$$c_f' = \frac{\tau_0}{\frac{\rho}{2} V^2} = \frac{0,664}{\sqrt{Re_x}}$$

**turbulens**

$$c_f' = \frac{\tau_0}{\frac{\rho}{2} V^2} = \frac{0,025}{\sqrt[4]{Re_x}}$$



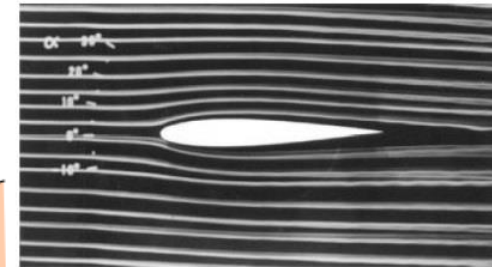
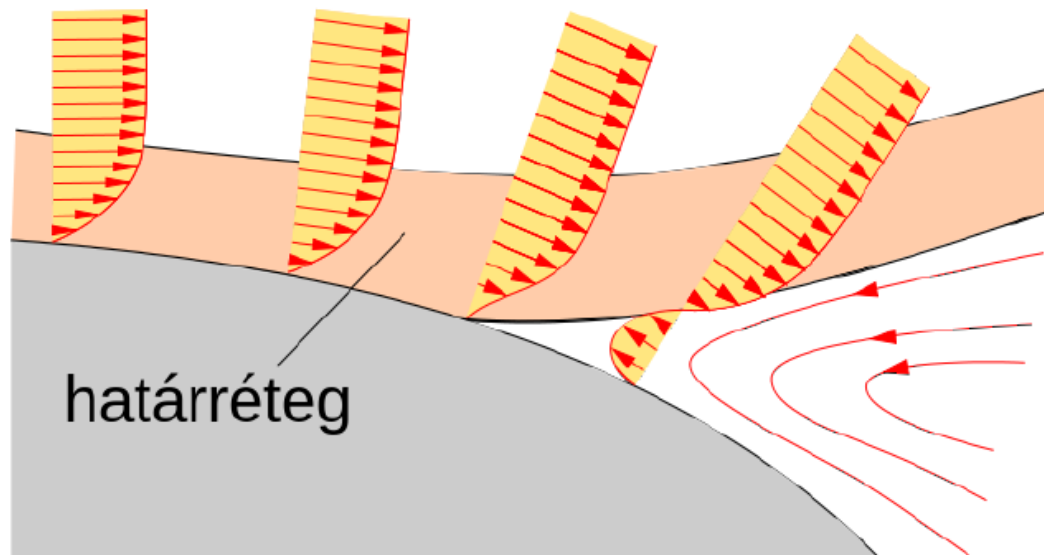
	határréteg	
	lamináris	turbulens
$Re_x = \frac{V x}{\nu}$		
sebességmegoszlás	$\frac{v_x}{V} \cong 1,5 \frac{y}{\delta} - 0,5 \left( \frac{y}{\delta} \right)^3$	$\frac{v_x}{V} = \left( \frac{y}{\delta} \right)^{\frac{1}{n}}$
határréteg vastagság	$\frac{\delta}{x} \cong \frac{5}{\sqrt{Re_x}}$	$\frac{\delta}{x} \cong \frac{0,14}{\sqrt[4]{Re_x}}$
súrlódási tényező	$c'_f = \frac{\tau_0}{\frac{\rho}{2} V^2} = \frac{0,664}{\sqrt{Re_x}}$	$c'_f = \frac{\tau_0}{\frac{\rho}{2} V^2} = \frac{0,025}{\sqrt[4]{Re_x}}$
ellenállástényező	$c_e = \frac{F_e}{\frac{\rho}{2} V^2 x b} = \frac{1,328}{\sqrt{Re_x}}$	$c_e = \frac{F_e}{\frac{\rho}{2} V^2 x b} = \frac{0,03}{\sqrt[4]{Re_x}}$



## Def.: határréteg leválás

Leválás: visszaáramlás (örvények) a felület mentén

- Hirtelen lassuló áramlás (pl. íveltség miatt)
- Növekvő nyomás irányában áramló közeg



A **határréteg leválásnak** tehát két szükséges feltétele van

- fal közelsége,
- áramlás irányában növekvő nyomás.

$$c_p = \frac{p - p_0}{\frac{\rho}{2} v^2}$$

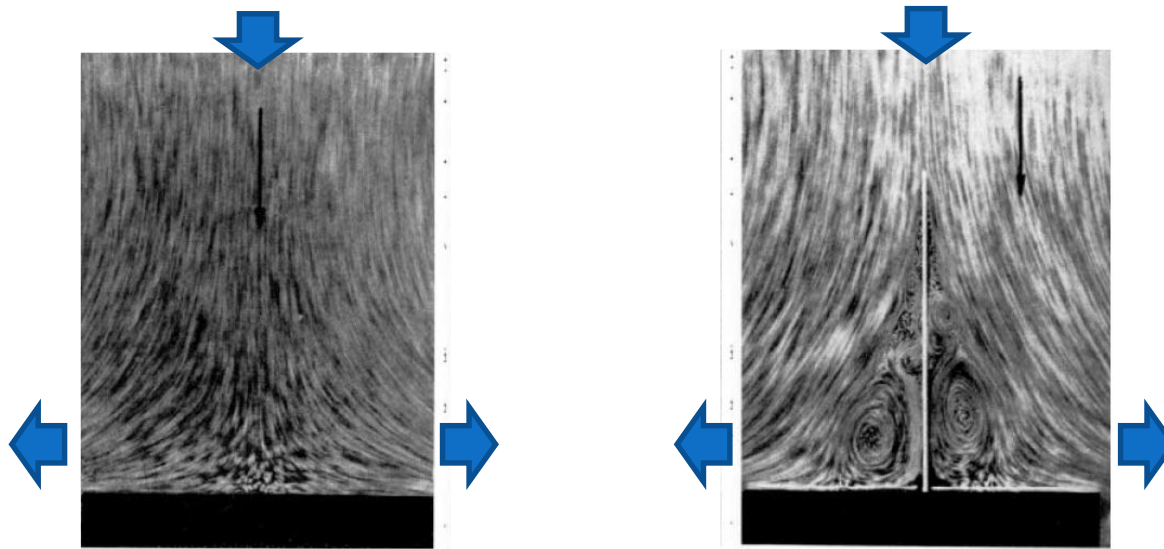




## Def.: határréteg leválás

Leválás: visszaáramlás (örvények) a felület mentén

- Hirtelen lassuló áramlás (pl. íveltség miatt)
- Növekvő nyomás irányában áramló közeg



9.8. ábra

Határréteg leválás torlópontáramlásban

A **határréteg leválásnak** tehát két szükséges feltétele van:

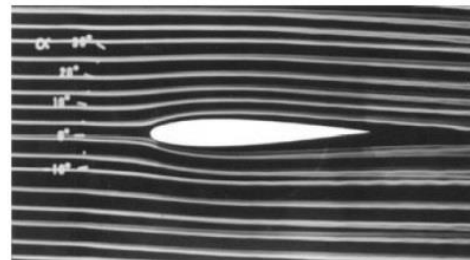
- fal közelsége,
- áramlás irányában növekvő nyomás.







## Def.: határréteg, határréteg leválása



**Feltapadt áramlás  
(attached flow)**



**Levált áramlás  
(separated flow)**

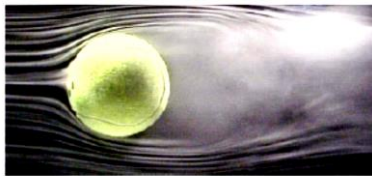




## Módszerek a határréteg leválás megszüntetésére / elkerülésére :

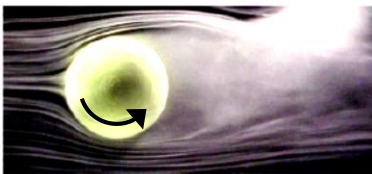
- $\tau_0 \downarrow$  : fali csúsztatófeszültség csökkentése (pl. fal mozgatása, érdesség csökkentése)
- $\text{grad} p \downarrow$  : nyomásgradiens csökkentése (diffúzor kúpszög, állásszög csökkentésével)
- $v_0 \uparrow$  : sebesség növelése a fal melletti határrétegben (befúvás/elszívás, gyorsítás)
- leválás késleltetése: „botlódrót” (turbulencia generátor) alkalmazása

$\tau_0 \downarrow$  csökkentése  
(fal mozgatása)



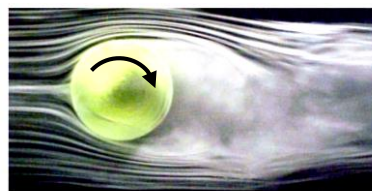
$\omega=0$

Figure 11. Flow visualization of 28 cm diameter tennis ball model with no spin ( $Re = 167\,000$ ) at NASA Ames Research Center. Flow is from left to right [11] (Image courtesy of NASA Ames Research Center and Cislunar Aerospace Inc.).



$\omega \neq 0$

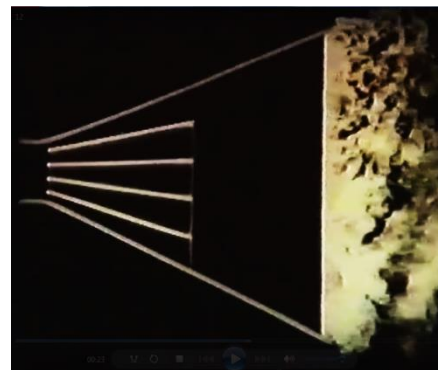
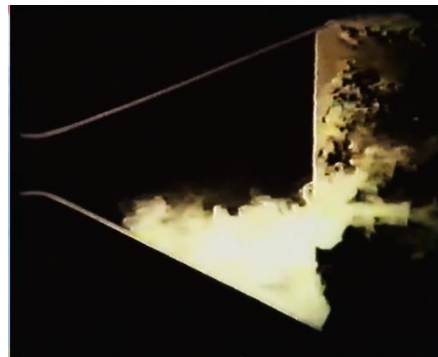
Figure 12. Flow visualization on ball with topspin (counter-clockwise rotation at 4 revs/sec,  $Re = 167\,000$ ) at NASA Ames Research Center, flow is from left to right [11] (Image courtesy of NASA Ames Research Center and Cislunar Aerospace Inc.).



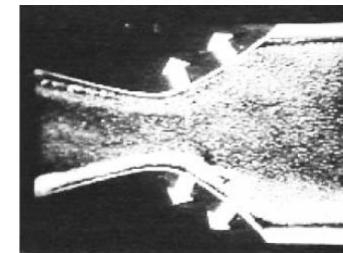
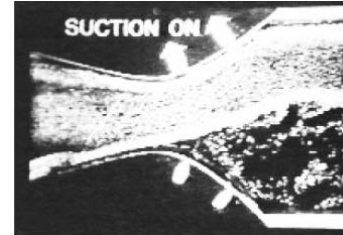
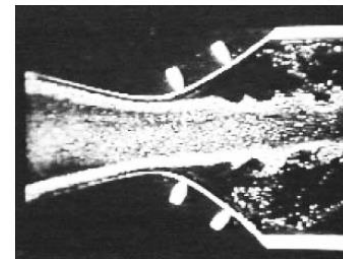
$\omega \neq 0$

Figure 13. Flow visualization on ball with underspin (clockwise rotation at 4 revs/sec,  $Re = 167\,000$ ) at NASA Ames Research Center, flow is from left to right [11] (Image courtesy of NASA Ames Research Center and Cislunar Aerospace Inc.).

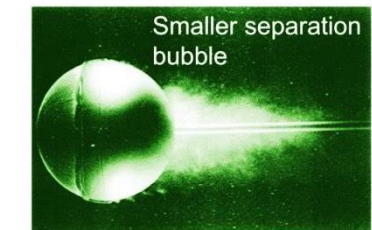
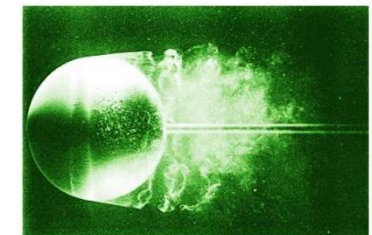
$\text{grad} p \downarrow$   
(kúpszög csökkentés)



$v_0 \uparrow$  sebesség növ.  
(határréteg elszívás)



turb. gen.  
(leválás késleltetés)





# 9. Határrétegek

Köszönöm a figyelmet!

Áramlástan előadást kiegészítő prezentáció  
Dr. Suda Jenő Miklós, adjunktus  
BME Áramlástan Tanszék

Felhasznált szakirodalom:

Dr. Lajos T.: Az áramlástan alapjai tankönyv  
Dr. Balogh M.: Turbulencia modellezése előadásjegyzet  
Dr. Suda J.M.: Járműáramlástan előadásjegyzet

